

Dithiocarbamate Wool에 固定된 不溶性 α -Amylase의 특성에 대하여

李京熙·金鍾德·李康鎬*

釜山大學校 藥學大學 藥學科, *釜山水產大學 食品工學科
(1985년 3월 5일 접수)

Enzymatic Characteristics of Water-Insoluble α -Amylase Immobilized on Dithiocarbamate Wool

Kyung-Hee Lee, Jong-Deog Kim and Kang-Ho Lee*

Department of Pharmacy, Pusan National University

**Department of Food Science and Technology, National Fisheries University of Pusan*

(Received March 5, 1985)

Abstract

Yellowish modified wool, dithiocarbamate(DTC) wool, was synthesized by partial hydrolysis in 0.2 N-NaOH reacting with carbon disulfide to use as α -amylase immobilization matrix. α -amylase was immobilized reacting with sulfide group of DTC-wool by covalent binding within 1 hour. 0.5 gram of this preparation, DTC-wool- α -amylase, contained 150 ug of enzyme protein and its specific activity was about 90% of the native one. General properties of DTC-wool- α -amylase were a little different from optimum temperature, optimum pH, heat stability, kinetic constants and activation energy. An apparent Michaelis constant and maximum velocity of DTC-wool- α -amylase were 5.56 mg/ml and 0.37 mg/ml. min⁻¹ respectively, while activation energy was 16.6 kcal/mole.

緒 論

酵素의 固定은 Nelson¹⁾等이 Alumina에 酵素를 吸着法으로 吸着 固定시킨 것을 始初로 Bernfeld²⁾等이 β -amylase 및 amidase를 Polymeric Gel에 包括法으로 固定하였고, Herzig³⁾ 等은 酵素를 Enol-2,4-disulfanilic Acid에 架橋法으로 固定하여 活性을 研究하였다. 또, Goldstein^{4,5)} 等은 Trypsin을 maleic acid와 ethylene의 copolymer에 共有結合法으로 固定하여 動力學的 動態를 研究하였다.

固定化劑의 現狀은 Charcol, Kaolinate, Cellulose,

Glass bead等을 利用한 이래 Landsteiner¹⁾가 高分子 支持體로서는 처음으로 Diazohapten을 赤血球間質에 結合시킨후 固定化劑가 高分子化 되어 갔고 高分子 合成 이후는 合成高分子 物質을 固定化劑로 利用하게 되어 Katchalski¹⁾ 等은 高分子物質의 化學的 性質, 結合酵素의 安定性, 結合酵素의 Functional Group을 體系化시켜 本格的인 酵素固定이 이루어져 Acrylic polymer 誘導體와 그의 Copolymer가 固定化劑로써 使用되었으며 Hornby⁶⁾ 等에 의한 Nylon 誘導體 外에도 Polyacryl amide, Polymer Gel 等의 固定化劑가 開發되었다.

最近에는 Polysaccharide 類로서는 cellulose, seph-

arose, dextran, chitin 誘導體, vinyl polymer 로서 acrylamide 誘導體, polystyrene 誘導體, poly-acid와 蛋白質類로서 polyglutamic acid, poly-amide類로서는 nylon 誘導體, inorganic support로서는 porous glass 등이 主類를 이루고 있다.¹⁾

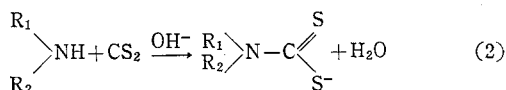
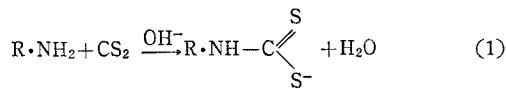
Polymer의 일종인 Wool이 酵素固定에 利用된 것은 Campbell²⁾ 등이 Nylon의 peptide結合을 分解시켜 N, N-dimethyl-1, 3-propane-diamine과 bifunctional reagent를 使用하여 nylon tube에 酵素를 固定시킨 이후이다.

Wool은 peptide 結合으로 이루어져 있고 많은 amine基를 함유하고 있어 이러한 1級 및 2級 amine基가 알카리성에서 二黃化炭素에 의해 dithiocarbamate化 된다는 것이 알려져 있다.³⁾ Han⁴⁾ 등은 이렇게 變形된 wool이 吸着力이 강하여 中금속 吸着劑開發에 有用함을 보고 하였으며, wool은 加熱時 殘存하는 NH₂ 基에 의하여 thiourea가 形成된다는 것도 알려져 酵素의 固定이 可能함을 提示하였다. 또한 thiocarbamate wool은 熱에 不安정한 短點은 있으나 70°C까지는 無妨하며 SH-reagent를 反應시키면 -S-S- bond를 갖는 可逆的인 固定化劑로서 사용할 수 있고, 酵素와의 反應時間이 1時間 以內로 짧으며 反應槽로 부터 分離가 容易하여 工業的 利用이 期待되어 지므로 dithiocarbamate wool을 固定化劑로 하여 固定한 DTC-wool- α -amylase의 活性를 觀察하여 그 結果를 native- α -amylase의 活性와 比較 檢討하였다.

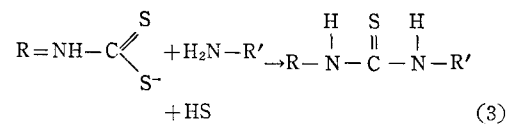
理 論

1. Dithiocarbamation

1級 및 2級 amine基가 알카리性에서 二黃化炭素에 의하여 쉽게 dithiocarbamate化 되는 것을 反應式으로 나타내면 式 (1), (2)와 같다.



또, 加熱時에 thiourea가 形成되는 것을 式으로 나타내면 (3)式과 같다.



材料 및 方法

1. 材 料

羊毛은 오스트레일리아產 메리노(Merino) 羊毛을 原料로 하여 ether에 2日間 沈積시켜 脫脂시킨 後 室溫에서 風乾하여 使用하였다.

2. 酵 素

酵素 溶液은 α -amylase(和光純藥)를 0.15M-phosphate buffer(pH 6.0) 溶液으로 100 μ g/ml 되겠끔 調製하여 使用하였다. (以下 Nat- α -amylase)

3. Dithiocarbamate Wool의 製造

脫脂한 羊毛 30g을 細絶한 後 0.2N-NaOH 溶液 2l에 넣고 二黃化炭素 50ml를 加한 後, 室溫에서 2日間 反應시키고 BTB로 中性이 될 때까지 吸引濾過한 後, 蒸溜水로써 洗滌하고 室溫에서 乾燥시켜 使用하였다(以下 DTC-Wool)

4. 酵素活性 測定 및 蛋白質 定量

1.0%의 Starch 溶液을 基質로 하여 酵素와 反應시킨 後 遊離된 還元糖 量을 3,5-dinitrosalicylic acid¹²⁾ 法으로 575 nm에서 吸光度를 測定하였다. 活性單位는 1分間 1 μ M의 glucose 生成量을 觸媒하는 DTC-wool- α -amylase量을 1 Unit(U)로 했으며 比較 對照 酵素는 native- α -amylase를 使用하였다. 蛋白質의 定量은 Lowry法¹³⁾으로 吸光度 定量했다.

5. DTC-wool- α -amylase의 製造

DTC-Wool 0.5g을 비이커에 넣고 diamino spacer (以下 space reagent)로서 0.15 M-phosphate buffer (pH 7.0) 용액으로 調製한 0.5M-urea 溶液 50ml를 加하여 室溫에서 2時間 反應시키고 餘液을 同 buffer 溶液으로 洗滌한 後, bifunctional reagent 로서 0.15 M-phosphate buffer(pH 7.0)로 稀釋한 2.5% glutaraldehyde 溶液 50ml를 加하여 室溫에서 2時間 反應시킨 다음 同 buffer 溶液으로 洗滌하여 DTC-NH-space-NH-glutaraldehyde(以下 DTC-NB-Wool)을 製造하였다. 活性化된 DTC-NB-Wool을 비이커에 넣고 酵素溶液 5ml(500 μ g/ml)를 加한 後 20°C water bath에서 1.5時間 反應시킨 後, 0.15M-phosphate buffer(pH 7.0) 溶液으로 洗滌하여 얻어진 固定 α -amylase(以下 DTC-wool- α -amylase)를 4°C에 保管

使用하였다.

6. 酵素의 活性 測定

1.0% Starch solution 50ml 를 基質로 하여 nat- α -amylase는 100 ug/ ml로, DTC-wool- α -amylase는 0.5g 을 넣고 90 回/分으로 흔들면서 10 分 간격으로 測定하였으며 각 酵素의 반응 시간은 1.5 時間으로 하였다.

7. 겉보기 $K_m(K_m^*)$ 및 겉보기 $V_{max}(V_{max}^*)$ 의 測定¹¹⁾

K_m^* 및 V_{max}^* 를 Michaelis-Menten 方程式의 定積分形態를 利用하여 求하였으며, 그 식은 다음과 같다.

$$\frac{T}{Q} = \frac{K_m}{V_{max}} \left(\frac{1}{Q} \ln \frac{1}{1-Q} - 1 \right) + \frac{C_0 + K_m}{V_{max}}$$

T : 총 반응시간

Q : 기질 변환률

$$Q = \frac{C_0 - C_e}{C_0}$$

C_0 : 초기 농도

C_e : 시간 t 에서의 농도

結果 및 考察

1. Dithiocarbamate Wool 合成의 最適條件⁶⁾

Wool이 Dithiocarbamate化 되는 最適條件은 Table 1 과 같았다.

위에서 보는 바와 같이 0.2N-NaOH 水溶液 中에서 2~3 日間 反應시키는 것이 適當함을 알 수 있었다.

2. Wool의 Dithiocarbamate化의 確認⁶⁾

Dithiocarbamate化의 與否를 確認하기 위해 二黃化炭素로 處理하지 않은 羊毛과 處理한 羊毛의 硫黃含量을 分析해 본 결과 處理하지 않은 羊毛 1g 中에

는 14.4 mg(n=3, S.D=2.7 mg), 處理한 羊毛 1g 中에는 54.1 mg(n=3, S.D=10.9 mg)이었고, 또한 IR Spectrum 上에서 2000-2500 cm^{-1} 사이에서 S=C=S의 吸收臺가 나타나지 않아 硫黃의 增加는 二黃化炭素가 Wool matrix에서의 水素結合이나 疏水性結合에 依한 것이 아님을 알 수 있었고 1400 cm^{-1} 에서 Dithiocarbamate基의 特有한 吸收臺가 觀察된 것에서 알 수 있었다.

3. 酵素의 固定

0.5g 의 DTC-NB-Wool에 酵素의 固定은 1 時間 以內에서 거의 이루어 졌으며 固定은 151.7 ug (n=4, S.D=2.5 ug) 로서 固定率은 30.3% 였다. Space reagent와 Bifunctional reagent는 分子量이 작고 測鑷의 길이가 짧은 것이 立體障壁를 줄이는 것으로 볼 수 있었다. 위의 結果는 Fig.1 에 나타내었으며, DTC-wool- α -amylase 0.5 g 에는 결합효소가 150 ug 임을 알 수 있었다.

4. 酵素活性和 反應時間

DTC-wool- α -amylase 및 Nat- α -amylase는 반응 후 70 分에서 最大의 還元糖을 나타내었으며 DTC-wool-

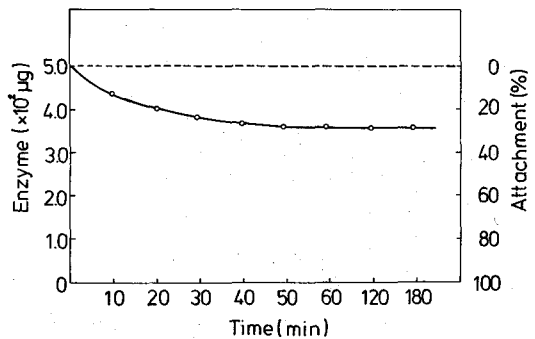


Fig. 1. Amount of α -amylase binded on DTC-NB-wool.

Table 1. The effect of sodium hydroxide strength and reaction time on the dithiocarbamation of wool

| Normality of NaOH | Reaction time (days) | | | | |
|-------------------|----------------------|------|------|------|------|
| | 1 | 2 | 3 | 4 | 5 |
| 0.05 | 20.7 | 26.1 | 26.8 | 30.0 | 35.8 |
| 0.10 | 30.5 | 33.0 | 36.7 | 44.2 | 50.5 |
| 0.20 | 45.1 | 54.1 | 56.0 | 51.3 | 54.8 |

(unit:mg S/g D.W)

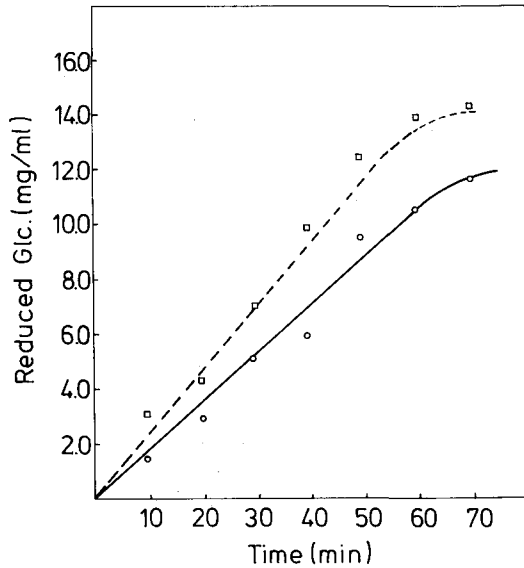


Fig. 2. Amount of the reduced Glc. on the time of DTC-wool- α -amylase (binding protein 150 μ g) and nat- α -amylase (100 μ g) for 1% starch solution.

○—○: DTC-wool- α -amylase.
□··□: Nat- α -amylase.

α -amylase는 12.2 mg/ml 였고, nat- α -amylase는 14.6 mg/ml 였다. 위의 결과를 Fig. 2 에 나타내었다.

5. 酵素活性과 酵素量

DTC-wool- α -amylase 및 nat- α -amylase 모두 효소량을 증가시킬수록 活性은 增加되었으나, DTC-wool- α -amylase는 효소량 3.0 g에서 還元糖이 13.5 mg/ml, Nat- α -amylase는 600 μ g/ml에서 還元糖이 15.8mg/ml 를 나타내었으며, 더 이상의 酵素量에서는 活性이 增加하지 않았다. 위의 결과를 Fig. 3 에 나타내었다.

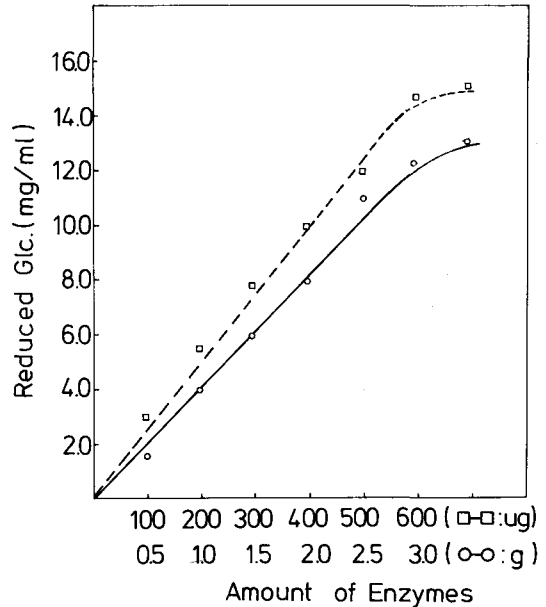


Fig. 3. Relationship between amount of enzyme and Glc. reduced from 1.0% starch solution

○—○: DTC-wool- α -amylase.
□··□: Nat- α -amylase.

6. K_m^* 및 V_{max}^{*11})

Simple batch system에서 DTC-wool- α -amylase의 K_m^* 및 V_{max}^* 를 Michaelis-Menten 方程式의 定積分形態를 利用하여 最適溫度 60°, 最適 pH 7.0 일 때의 것을 求하였으며, 結果는 Fig. 4 에 나타내었다.

그리고, 30°C, 40°C, 50°C, 70°C 및 80°C 에서의 K_m^* 및 V_{max}^* 値는 Table 2 와 같았다.

위 Table에서 溫度가 增加할수록 V_{max}^* 値가 增加하여 60°C 에서 最大를 나타내고 70°C 以上の 溫度에서는 減少되는傾向을 보아 不活性化 되어짐을 분

Table 2. The effect of temperature on V_{max}^* and K_m^*

| Temp. (°C) | DTC-wool- α -amylase | | Nat- α -amylase | |
|------------|---|--------------------|---|--------------------|
| | V_{max}^* (μ g/ml·min ⁻¹) | K_m^* (mg/ml) | V_{max}^* (μ g/ml·min ⁻¹) | K_m^* (mg/ml) |
| 30 | 39.82 | 22.27 | 87.74 | 2.47 |
| 40 | 99.10 | 0.12 | 105.54 | 4.08 |
| 50 | 146.95 | 0.67 | 110.62 | 4.96 |
| 60 | 370.37 | 5.56 | 114.51 | 3.82 |
| 70 | 7.83 | 11.11 | 0.22 | 9.49 |
| 80 | 9.8 | 11.09 | 0.92 | 10.13 |

V_{max}^* , K_m^* : Apparent V_{max} 및 K_m .

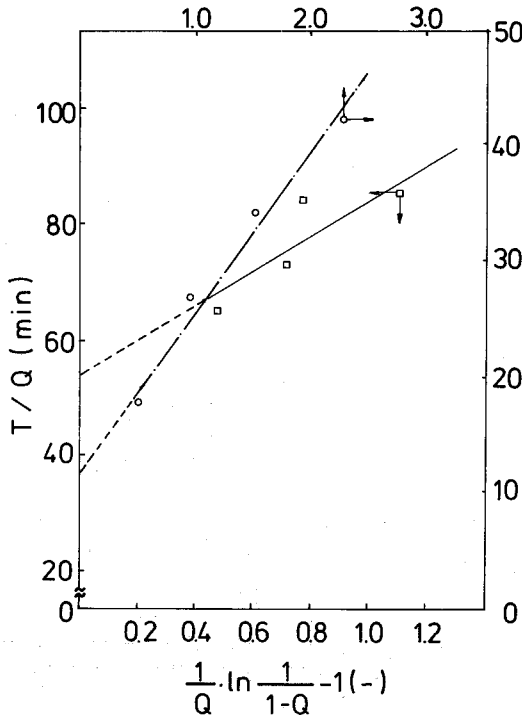


Fig. 4. Linear regression of integrated Michaelis-Menten equation. T/Q as a function of $[\frac{1}{Q} \cdot \ln \frac{1}{1-Q}] - 1$ with the reaction time, T and the substrate conversion, Q.

○—○: DTC-wool-α-amylase
 □—□: Nat-α-amylase.

수 있었다. 온도에 따른 K_m 값을 보면 Nat-α-amylase 에서는 K_m 값과 V_{max} 와의 상관관계가 일물성이 있으나 DTC-wool-α-amylase 에서는 상관관계가 멀어짐을 볼수 있었는데 이것은 固定化 酵素와 基質간의 입체 장애, electrostatic force, partitioning effect, mass-transport 등에 기인되는 것으로 사료되어 진다.

7. 最適溫度

DTC-wool-α-amylase는 溫度의 增加에 따라 活性이 增加되어 60°C 에서 還元糖의 量이 16 mg/ml 로서 최대의 活性에 到達하였고, nat-α-amylase는 60°C 에서 15 mg/ml 로서 活性이 最大였다. 위의 結果를 Fig. 5 에 나타내었다.

8. 最適 pH 및 pH 安定性

DTC-wool-α-amylase는 pH 7.0 까지 活性이 增加되어 pH 7.0 에서 還元糖의 量이 16 mg/ml 로서 最大

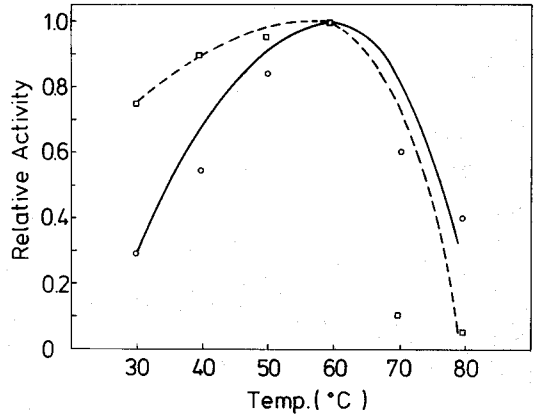


Fig. 5. Comparison with relative activity on the temperature of DTC-wool-α-amylase and Nat-α-amylase.

○—○: DTC-wool-α-amylase
 □—□: Nat-α-amylase

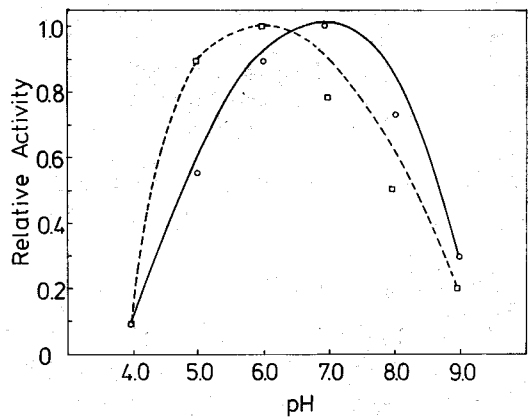


Fig. 6. Comparison with relative activity on pH of DTC-wool-α-amylase and Nat-α-amylase.

○—○: DTC-wool-α-amylase
 □—□: Nat-α-amylase

의 活性을, nat-α-amylase는 pH 6.0 에서 還元糖의 量, 15 mg/ml 로서 活性이 最大였다. 위의 結果를 Fig. 6 에 나타내었다.

따라서 DTC-wool-α-amylase의 最適 pH는 pH 7.0 이었고 nat-α-amylase는 pH 6.0 이었다. 活性이 95% 以上の pH 安定性은 DTC-wool-α-amylase는 pH 6.0~7.0 이었고 nat-α-amylase는 pH 5.5~6.5 였다.

9. 耐熱性

DTC-wool-α-amylase와 nat-α-amylase 모두 70°C

以上에서는 活性이 減少됨을 볼 수 있고 70~80°C에서는 時間이 지날수록 活性이 減少하나 DTC-wool- α -amylase가 Nat- α -amylase 보다 耐熱性이 強함을 알 수 있었다. 위의 結果를 Fig. 7에 나타내었다.

10. 活性化 Energy¹⁵⁾

最適溫度(60°C) 前後는 反應速度가 같아짐을 볼 수 있었고 活性化 에너지는 DTC-wool- α -amylase가 16.6 Kcal/mole 이었고 Nat- α -amylase는 3.4 Kcal/mole 이었다. 위의 結果를 Fig. 8에 나타내었다.

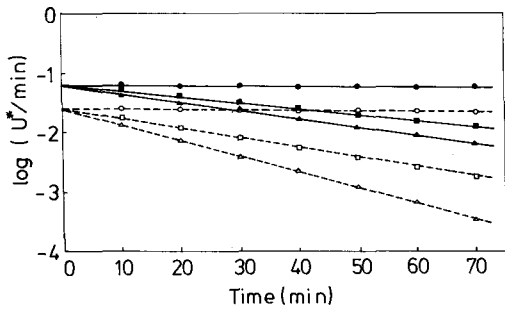


Fig. 7. The effect of heat on the activity of DTC-wool- α -amylase and Nat- α -amylase.

DTC-wool- α -amylase: ●—● 60°C
 : ■—■ 70°C
 : ▲—▲ 80°C
 Nat- α -amylase : ○··○ 60°C
 : □··□ 70°C
 : △··△ 80°C

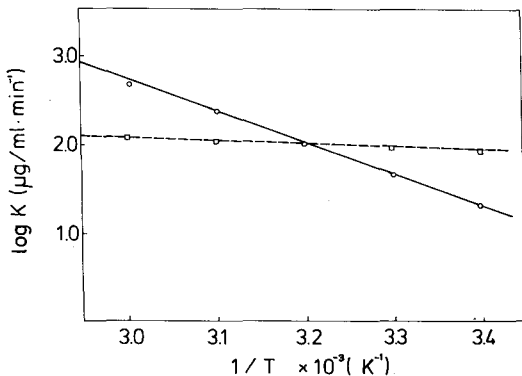


Fig. 8. Arrhenius plot for the activation energy on the temperature of DTC-wool- α -amylase and nat- α -amylase.

○—○: DTC-wool- α -amylase
 □··□: Nat- α -amylase.

要 約

Thiocarbamate wool은 CS₂ 및 기타의 SH-reagent로 쉽게 修飾할 수 있을 뿐만 아니라 可逆的으로 使用이 可能하며 一般의인 條件에서도 酵素와 쉽게 結合하여 再使用 및 除去에 容易하므로 thiocarbamate wool의 特異한 反應性을 利用, 酵素를 固定하여 工業的인 利用 目的으로 研究 檢討하였다.

DTC-wool- α -amylase의 一般의인 性質은 Nat- α -amylase에 比하여 最適溫度, 最適 pH, 耐熱性, 動力學的 動態 및 活性化 에너지 등이 다르게 나타났 다.

- 1) 反應時間은 70分에서 還元糖이 12.2 mg/ml로서 最大의 活性을 나타내었고
- 2) 酵素量은 3.0g 으로서 13.5 mg/ml의 還元糖으로 最大의 活性을 나타내었으며
- 3) Michaelis constant (K_m^*)는 5.6 mg/ml 였고 V_{max}^* 는 370.37 μ g/ml·min⁻¹ 이었다.
- 4) 最適溫度는 60°C 였고 이때의 還元糖의 量은 16 mg/ml 였고
- 5) 最適 pH는 pH 7.0이었고 95% 以上の 活性을 나타낸 pH 安定性은 pH 6.0~7.0 이었다.
- 6) 耐熱性은 Nat- α -amylase 보다 強하였으며
- 7) 活性化 에너지는 16.6 Kcal/mole 이었다.

thiocarbamate wool은 可逆, 再使用 및 除去의 便利에 큰 意義를 둘 수 있으며 쉽게 調製할 수 있는 容易點이 있을 뿐 아니라 이 DTC-wool에서 酵素의 固定이 室溫에서도 짧은 時間 內에 이루어지며 상당히 높은 固定率을 기대할 수 있다. 또 最適溫度가 60°C 이고 最適 pH는 7.0이므로 反應裝置 및 運用에 別다른 어려움이 없고, 耐熱性이 強하므로 쉬운 條件 下에서 經濟的으로 工業的 利用에 有利하다고 判斷되어진다.

謝 辭

本 研究을 遂行할 수 있도록 羊毛을 提供하여주신 泰光産業 株式會社에 깊이 感謝드립니다.

기 호 설 명

- C : substrate concentration, mg/ml.
- C_e : immediate concentration at $t=T$, mg/ml.
- C_0 : starting concentration, mg/ml.

K_m : Michaelis-Menten constant, mg/ml.
 K_m^* : apparent K_m , mg/ml.
 R : reaction rate, mg/ml·min⁻¹.
 T : reaction time, min,
 Q : substrate conversion.
 U : enzyme unit.
 V_{max} : reaction rate at substrate saturation,
 mg/ml·min⁻¹.
 V_{max}^* : apparent V_{max} , mg/ml·min⁻¹.

참 고 문 헌

1. Goldstein, L. and Menke, G. : *Applied Biochemistry and Bioengineering*, Academic Press, New York, **1**, 126(1976)
2. Sideney, P.C. and Nathan, O.K. : *Methods in Enzymology*, Academic Press, New York, **44**, 148(1976)
3. 辻阪好夫 : 酵素工學ハンドブック, (講談社, 東京) 163(1977)
4. Goldstein, L., Levin, Y., Pecht, M. and Katchalski, E. : *Biochemistry*, **3**, 1905(1964)
5. Golodstein, L., Levin, Y., Pecht, M and Katchalski, E. : *Biochemistry*, **3**, 1913(1964)
6. Hornby, W. E., Campbell, J. and Morris, D.L. : *Biochem. J.*, **147**, 593(1975)
7. Campbell, J., Hornby, W.E. and Morris, D.L. : *Biochem. Biophys.*, **384**, 307(1975)
8. Henderikson, J.B., Cram, D.J. and Hammond, G.S. : *Organic Chemistry*, McGraw-Hill, KOGAKUSHA, Tokyo, 484(1972)
9. 한석규·이경희·김영미·윤일 : 약학연구지, 부산대학교, **15**, 7(1981)
10. Crithfield, F.E. and Johnson, L.B. : *Anal. Chem.*, **28**, 430(1956)
11. Halwach. E. : *Biotch. Bioeng.*, **20**, 281(1978)
12. Miller, G.L. : *Anal. Chem.*, **31**, 426(1959)
13. Hartee, E.F. : *Anal. Chem.*, **48**, 422(1972)
14. 高木誠 司 : *Quantitative Analysis*, (共立出版株式會社, 東京), 505(1971)
15. Suzuki, H. and Maeda, H. : 日本農藝化學會誌 **44**, 547(1970)